

# 「表面物理」「表面物理特論」

表面の振動, フォノン

ダイナミカルマトリックス

表面吸着分子の基準振動

無限1次元鎖と端がある場合: 表面局在フォノン

レイリー波

コーン異常とファノ共鳴

原子間の力の定数の起源

水素分子の形成

調和近似と非調和性

## 1次元 2原子の振動

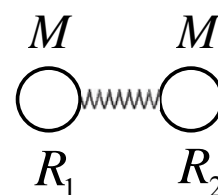
ポテンシャルエネルギー

$$V(R_1, R_2) = \frac{1}{2}k(R_2 - R_1 - \ell)^2$$

$$R_1 \rightarrow u_1, \quad R_2 - \ell \rightarrow u_2$$

$$M\ddot{u}_1 = -k(u_1 - u_2)$$

$$M\ddot{u}_2 = k(u_1 - u_2)$$



ばねの自然長:  $\ell$

の形の解

$$(\omega^2 M - k)u_1^0 + ku_2^0 = 0$$

$$ku_1^0 + (\omega^2 M - k)u_2^0 = 0$$

# 原子振動の一般論1

原子  $i$  の変位

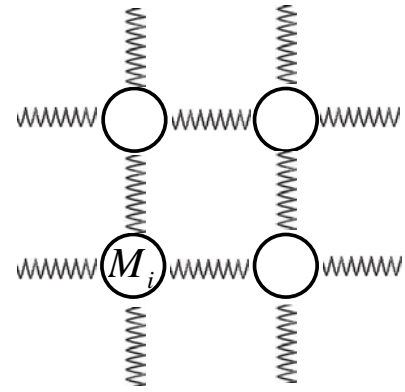
$$\vec{u}_i = \vec{R}_i - \vec{R}_i^0$$

原子  $i$  のポテンシャル  $u_\alpha \sim \text{小}$

$$V(\vec{R}_i) = V(\vec{R}_i^0) + \frac{1}{2} \sum_{i\alpha, j\beta} \left[ \frac{\partial^2 V}{\partial R_{i\alpha} \partial R_{j\beta}} \right]_{R^0} u_{i\alpha} u_{j\beta}$$

$$\alpha = x, y, z$$

運動方程式



$\vec{R}_i$  : 原子  $i$  の位置

$\vec{R}_i^0$  : 平衡位置

# 原子振動の一般論2

$$M_i \ddot{u}_{i\alpha} = - \frac{\partial V}{\partial u_{i\alpha}} = - \sum_{j\beta} \left[ \frac{\partial^2 V}{\partial R_{i\alpha} \partial R_{j\beta}} \right]_{R^0} u_{j\beta} \quad \left[ \frac{\partial^2 V}{\partial R_{i\alpha} \partial R_{j\beta}} \right]_{R^0} = C_{i\alpha, j\beta}$$

$u_{i\alpha} = u_{i\alpha}^0 \exp(i\omega t)$  の形の解

$$\omega^2 M_i u_{i\alpha}^0 = \sum_{j\beta} C_{i\alpha, j\beta} u_{j\beta}^0$$

原子数:  $N$

$\alpha = x, y, z$

3N個の  $u^0$

$$\frac{C_{i\alpha, j\beta}}{\sqrt{M_i M_j}} = D_{i\alpha, j\beta} \quad 3N \times 3N \text{ symmetrical matrix}$$

$$(\hat{D} - \omega^2 \hat{I}) \vec{U} = 0$$

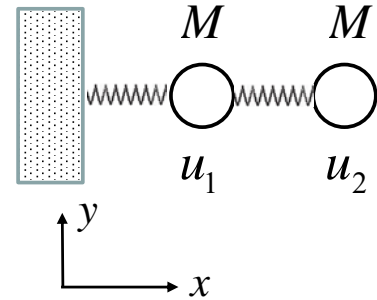
## 2次元:2原子+壁

$$V(u_{1x}, u_{1y}, u_{2x}, u_{2y})$$

$$= \frac{1}{2} \left\{ k_x u_{1x}^2 + k_x (u_{1x} - u_{2x})^2 + k_y u_{1y}^2 + k_y (u_{1y} - u_{2y})^2 \right\}$$

$$M \ddot{u}_{1x} = -k_x u_{1x} - k_x (u_{1x} - u_{2x})$$

$$M \ddot{u}_{2x} = k_x (u_{1x} - u_{2x})$$



固有モード

連成振動

(2重振り子)

## 振動状態の測定: 赤外吸収分光

電磁場のもとでの荷電粒子のハミルトニアン

$$H = \frac{1}{2m} (\vec{p} - e\vec{A})^2 + V(\vec{r}) \cong$$

光吸収による遷移確率

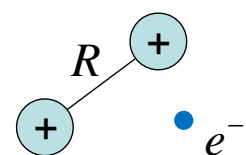
$$\frac{dW}{dt} = \frac{2\pi}{\hbar} \left| \langle \psi_f | H' | \psi_i \rangle \right|^2 \delta(E_f - E_i - \hbar\omega)$$

$$[\vec{r}, H_0] = \frac{i\hbar}{m} \vec{p} \quad \frac{dW}{dt} \propto \left| \langle \psi_f | e\vec{r} | \psi_i \rangle \cdot \vec{A}_0 \right|^2$$

分子の双極子  $\vec{\mu} = \sum_j q_j \vec{R}_j - \sum_i e \vec{r}_i$

行列要素  $\langle \psi_f | \vec{\mu} | \psi_i \rangle = \langle \phi_v^f(R) | \hat{\mu}(R) | \phi_v^i(R) \rangle$

$$\hat{\mu}(R) = \langle \phi_e(R; \vec{r}_i) | \vec{\mu} | \phi_e(R; \vec{r}_i) \rangle$$



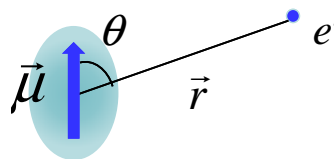
$$\psi = \phi_v(R) \phi_e(R; \vec{r}_i)$$

R: 振動の基準座標

# 振動状態の測定: 電子の非弾性散乱 (EELS)

電子との相互作用: 双極子で近似

$$V \cong \frac{\partial}{\partial \vec{r}} \left( \frac{e}{4\pi\epsilon_0 r} \right) \cdot \vec{\mu} = \frac{e}{4\pi\epsilon_0} \frac{\vec{\mu} \cdot \vec{r}}{r^3}$$



Vによる遷移の行列要素

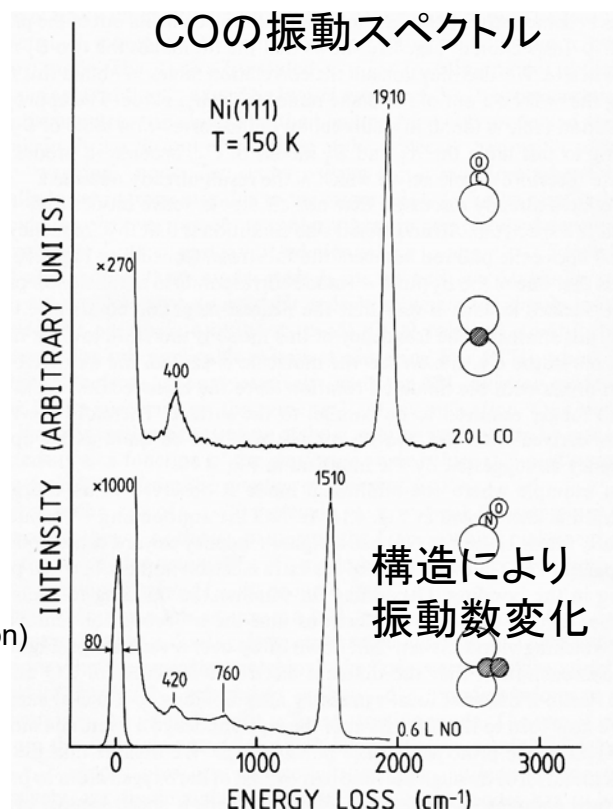
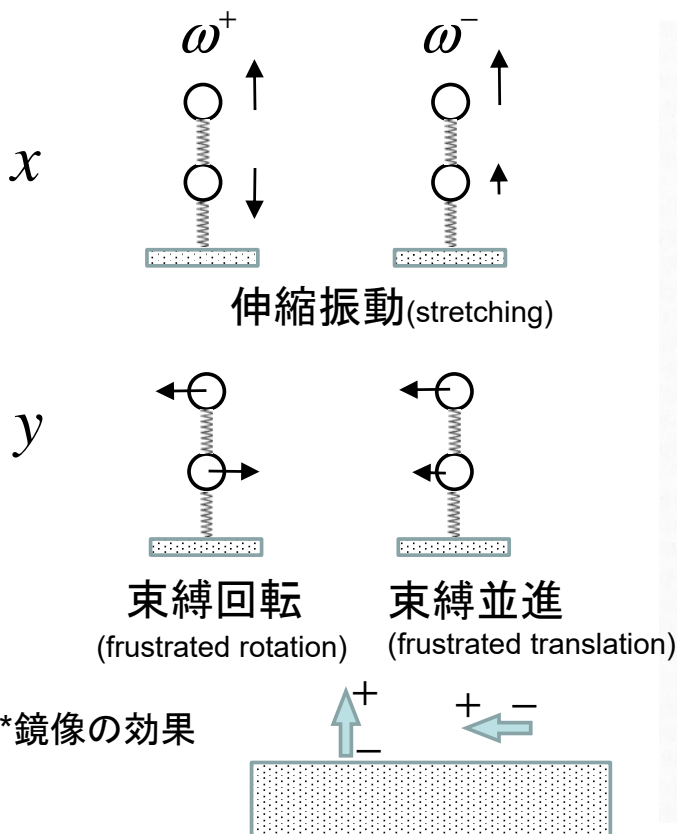
$$\langle \psi_f | V | \psi_i \rangle \propto \langle \phi_v^f(R) | \hat{\mu}(R) | \phi_v^i(R) \rangle$$

$$\hat{\mu}(R) = \hat{\mu}_0 + \frac{d\hat{\mu}}{dR} R + \dots \quad \text{と展開すると}$$

$$\frac{d\hat{\mu}}{dR} \langle \phi_v^f(R) | R | \phi_v^i(R) \rangle \quad \rightarrow$$

(調和振動子)

## 吸着分子の振動モード



# EELSの特徴: 強度の角度分布

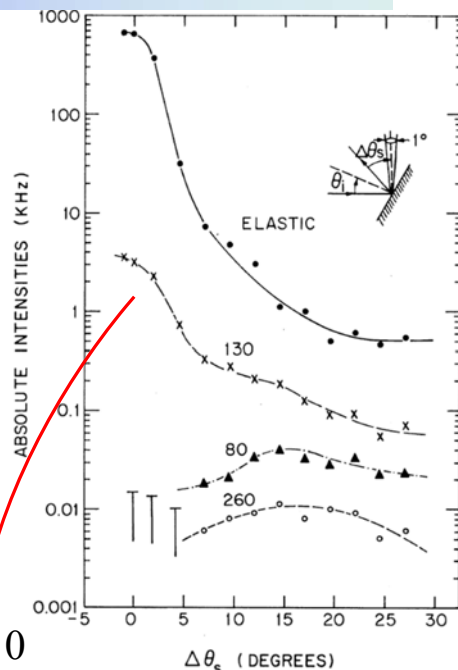
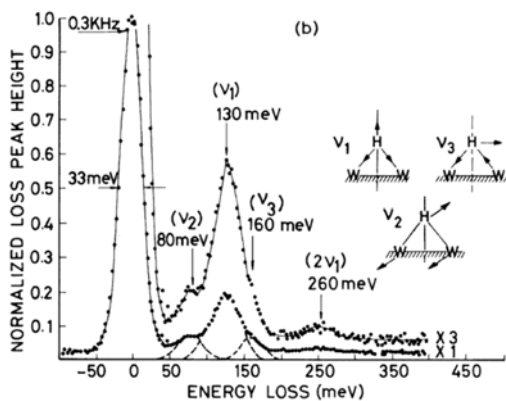
非弾性散乱の微分断面積(方向依存性)

$$\frac{1}{r} = \frac{1}{2\pi^2} \int d\vec{q} \frac{\exp(-i\vec{q} \cdot \vec{r})}{q^2}$$

$$d\sigma = \gamma^2 \frac{4q_{\parallel}^2 v^2}{(\omega_0^2 + q_{\parallel}^2 v^2)^2} d\vec{q}_{\parallel} \quad q_{\parallel} \sim \frac{\omega_0}{v} \text{ で極大}$$

$v$ : 電子の速度

電子のエネルギー~10eV,  
振動エネルギー~100 meV



$v_1 : q_{\parallel} \sim 0$

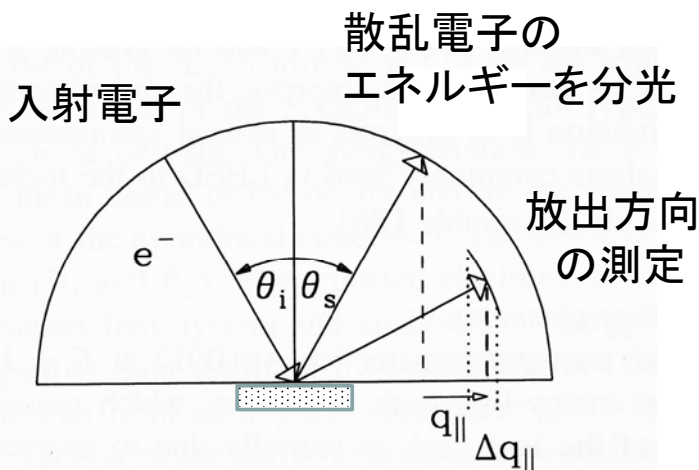
で極大

$v_2 : q_{\parallel}$

に依らない  
(強度: 弱い)

PRL 22, 1463 (1978)

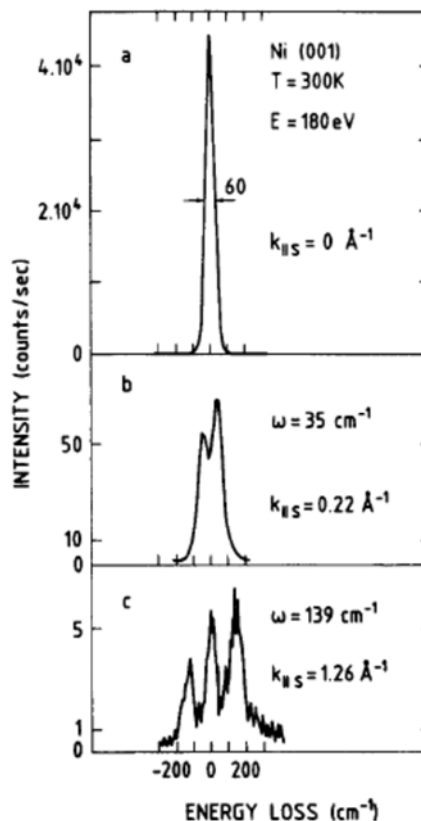
# EELSの特徴: 分散関係の測定



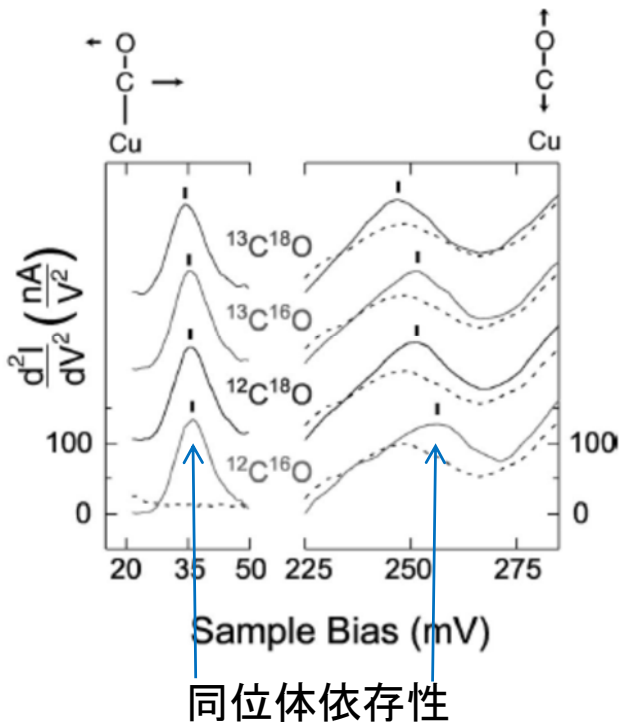
エネルギー損失 $\Delta E$ と角度の関係

$$\Delta E = \frac{1}{2m_e} (q^2 - q'^2)$$

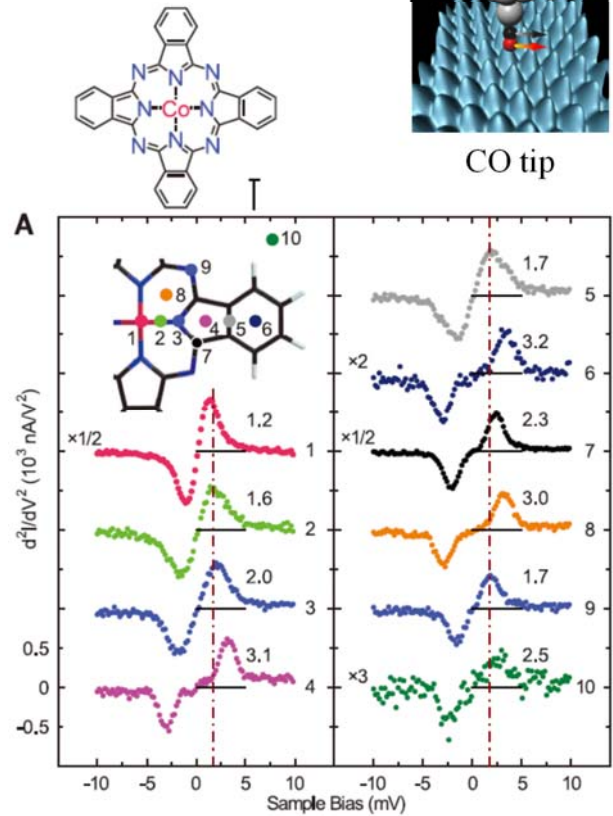
$$q_{\parallel} = q' \sin \theta_s - q \sin \theta_i$$



# 非弾性トンネル分光



W. Ho, J. Chem. Phys. 117, 11 033 (2002);  
Science 344, 885 (2014).



# 無限1次元鎖

$$V = \frac{1}{2} \sum_{i=-\infty}^{\infty} k(u_{i-1} - u_i)^2$$

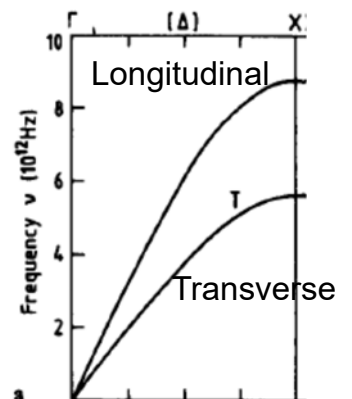
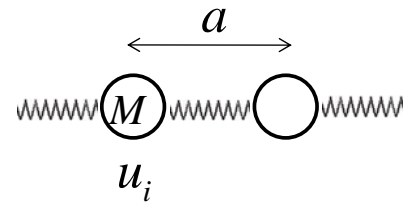
$$M\ddot{u}_i = k(u_{i-1} - u_i) - k(u_i - u_{i+1})$$

の形の解

$$\omega^2 M u_i^0 = k(u_{i-1}^0 - u_i^0) - k(u_i^0 - u_{i+1}^0)$$

ブロッホの定理

$$\omega = \sqrt{\frac{4k}{M}} \left| \sin \frac{qa}{2} \right|$$

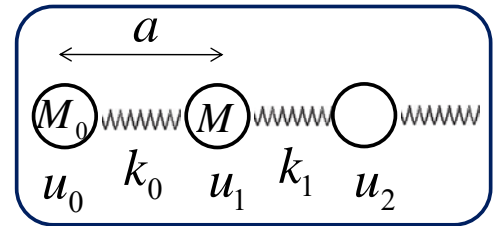


## 半無限1次元鎖：端があるとき

$$V(u_i) = \frac{1}{2} \sum_{i=0}^{\infty} k_i (u_i - u_{i+1})^2$$

$$-\omega^2 M_0 u_0^0 = k_0 (u_1^0 - u_0^0) \quad \dots \textcircled{1}$$

$$-\omega^2 M u_i^0 = k(u_{i-1}^0 - u_i^0) - k(u_i^0 - u_{i+1}^0) \quad i \geq 1 \quad \dots \textcircled{2}$$



振幅が中に向かって減衰する解を考える

$$\textcircled{2} \text{に代入} \quad -\omega^2 M u^0 = k(\exp(-qa) - 2 + \exp(qa))u^0$$

$$\textcircled{1} \text{に代入} \quad -\omega^2 M_0 u_0 = k(u_1 - u_0)$$

## 半無限1次元鎖 $k_0 = k, M_0 \neq M$

$$X = \exp(-qa)$$

$$-2\left(1 - \frac{X^{-1} + X}{2}\right) \frac{M_0}{M} = (X - 1)$$

(1) if  $M_0 > M$

(2) if  $M_0 < M$

$$\exp(-qa) = (-1) \left( \frac{M_0}{M - M_0} \right)$$

のとき,

## 半無限1次元鎖 $k_0 \neq k, M_0 = M$

$$\left\{ \begin{array}{l} -\omega^2 M u_0 = k_0(u_1 - u_0) \quad \dots \textcircled{1}' \\ -\omega^2 M u_1 = k(u_2 - u_1) - k_0(u_1 - u_0) \quad \dots \textcircled{2}' \\ -\omega^2 M u_i = k(u_{i-1} - u_i) - k(u_i - u_{i+1}) \quad i \geq 2 \quad \dots \textcircled{3} \end{array} \right.$$

減衰する解  $u_n = u^0 \exp(-nqa) \quad n \geq 1 \quad \text{Re}(q) > 0$   
 $\omega^2 M = 2k(1 - \cosh(qa)) \quad n \geq 2 \quad \dots \textcircled{4} \quad (\textcircled{3} \text{から})$

$\textcircled{1}'$ ,  $\textcircled{4}$ より  $[k_0 - 2k(1 - \cosh(qa))]u_0 - k_0 \exp(-qa)u^0 = 0$

$\textcircled{2}'$ ,  $\textcircled{4}$ より  $-k_0 \exp(qa)u_0 + [k_0 - k(1 - \exp(qa))]u^0 = 0$

## 半無限1次元鎖 $k_0 \neq k, M_0 = M$

非自明な解  $(u_0, u^0 \neq 0) \rightarrow$  行列式=0

$$[k_0 - 2k(1 - \cosh(qa))][k_0 - k(1 - \exp(qa))] - k_0^2 = 0$$

$\varepsilon = \frac{k_0 - k}{k}, X = \exp(qa)$  とおいて整理すると

$\textcircled{1} \quad -1 < \varepsilon < 0$

$$X = -\varepsilon \pm i\sqrt{-(\varepsilon^2 + \varepsilon)}$$

$$\therefore \exp(-qa) = X^{-1} > 1$$





$$\vec{u}^t = (u_x^t, 0, u_z^t), \quad \vec{u}^l = (u_x^l, 0, u_z^l)$$

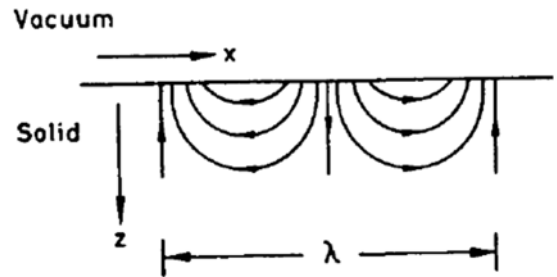
$$\text{div } \vec{u}^t = 0, \quad \text{rot } \vec{u}^l = 0 \quad \rightarrow \quad \frac{\partial u_x^t}{\partial x} + \frac{\partial u_z^t}{\partial z} = 0, \quad \frac{\partial u_x^l}{\partial z} - \frac{\partial u_z^l}{\partial x} = 0$$

$$iku_x^t - pu_z^t = 0, \quad qu_x^l +iku_z^l = 0$$

... ①

・表面では、応力の垂直成分=0

$$\left. \begin{aligned} \frac{\partial u_x}{\partial z} + \frac{\partial u_z}{\partial x} &= 0 \\ c_l^2 \frac{\partial u_z}{\partial z} + (c_l^2 - 2c_t^2) \frac{\partial u_x}{\partial x} &= 0 \end{aligned} \right\} \dots ②$$



横波と縦波が混在

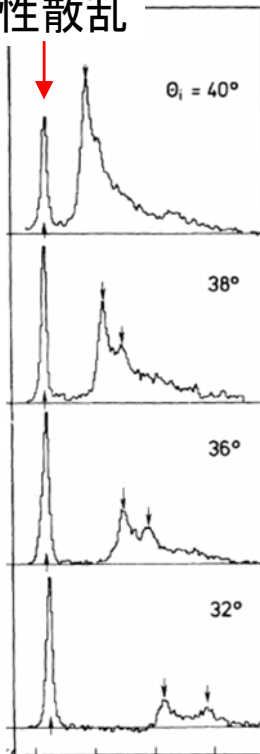
①, ②で  $u^t, u^l$  の振幅が  
ゼロにならない条件から

$$\begin{vmatrix} p^2 + k^2 & 2qk \\ 2pk & p^2 + k^2 \end{vmatrix} = 0$$

$\omega$ と $k$ の比例関係:  $\xi$ を定数として

## エネルギー vs. 運動量: 分散関係

弾性散乱



エネルギー損失

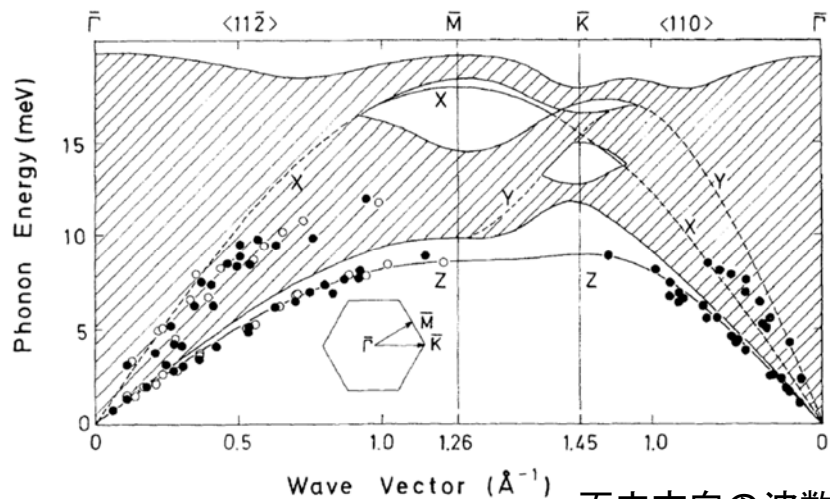
Ag(111)表面

角度変化 = 運動量変化

→ エネルギー変化

X:  $\langle 11\bar{2} \rangle$

Y:  $\langle 110 \rangle$

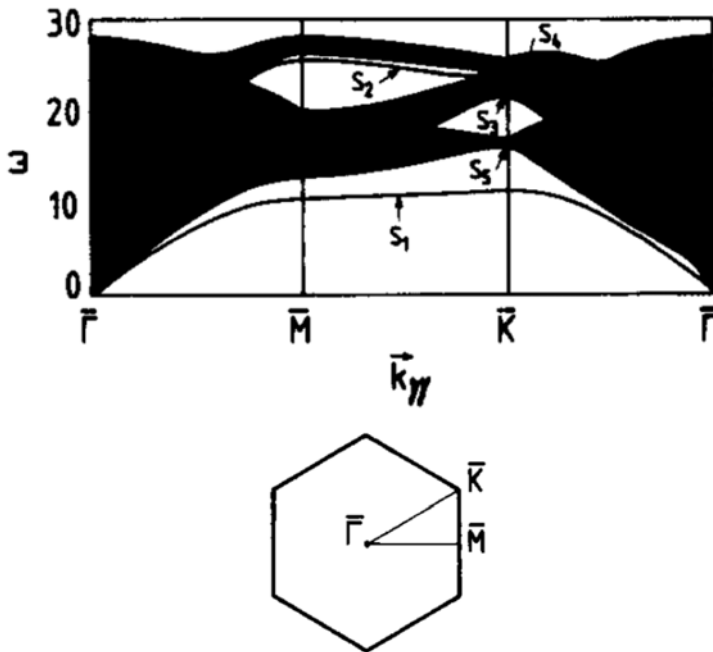


$$\omega = ck$$

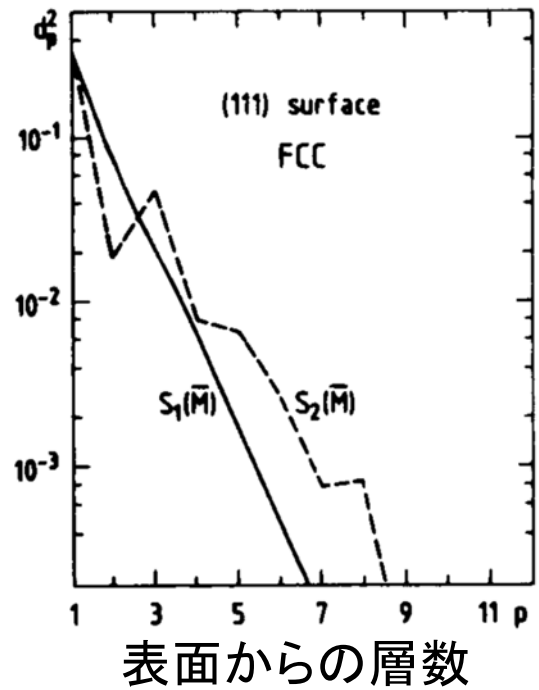
面内方向の波数

# 表面モードの性質

FCC結晶 20層について計算



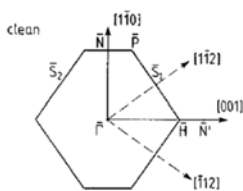
振動振幅<sup>2</sup>



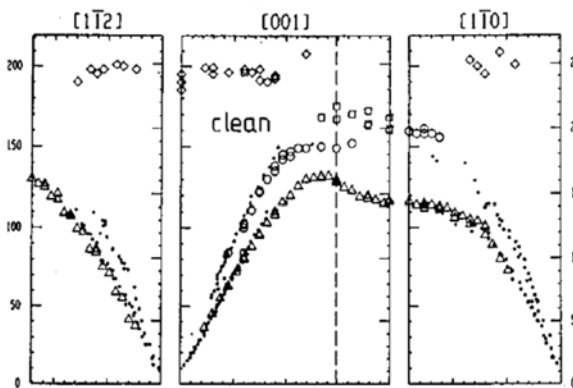
## フォノンに対する電子の影響1

コーン異常:フォノン分散における

フェルミ面の電子によるスクリーニング



W(110)表面



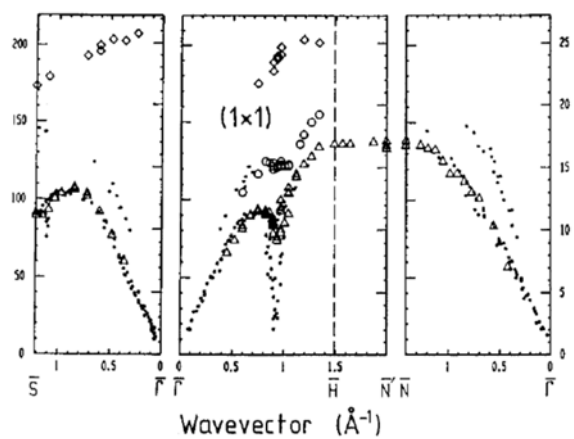
PRB 53, 7479 (1996)

$\bar{q}$ : フォノンの波数

$\bar{G}$ : 逆格子ベクトル

$k_F$ : フェルミ波数

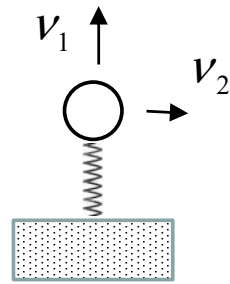
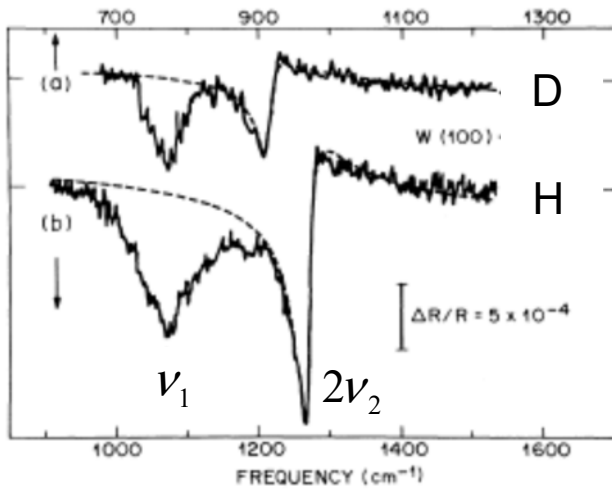
W(110)-H表面



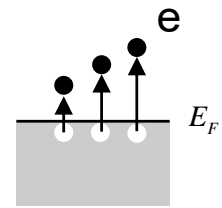
Wavevector ( $\text{\AA}^{-1}$ )

# フォノンに対する電子の影響2

水素吸着W(110)表面  
赤外吸収スペクトル



連続スペクトル



スペクトル形状

$$L(\omega) = 4 \left( \frac{\omega_r}{\omega} \right) \left( \frac{\mu_1^2}{\gamma} \right) \frac{(1 - \omega\tau x)}{1 + x^2}$$

$$x = \frac{(\omega^2 - \omega_r^2)}{\gamma\omega}$$

振動(離散スペクトル)と  
連続スペクトルの干渉

$\omega_r$ (cm <sup>-1</sup> )	$\gamma$ (cm <sup>-1</sup> )	$\omega_r\tau$
1270	26	0.44
915	22	0.46

PhysRevLett.55.845 (1985) ; PhysRevLett.54.126 (1985)

# 水素原子の電子状態

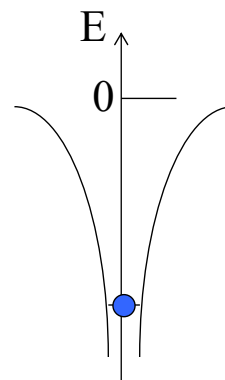
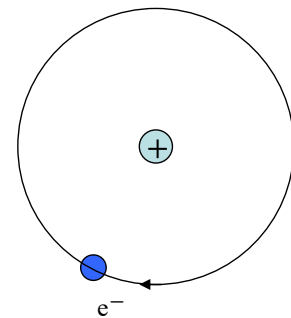
$$H\Psi = E\Psi$$

$$H = -\frac{\hbar^2}{2m} \Delta - \frac{e^2}{r}$$

$$E_n = -\frac{me^4}{2\hbar^2} \frac{1}{n^2} \quad n = 1, 2, 3, \dots$$

$$\varphi = R_{nl}(r) Y_{lm}(\theta, \varphi)$$

$$Y_{lm}(\theta, \varphi) \propto e^{im\varphi} P_l^m(\cos\theta)$$



# 正電荷が2つ: 水素分子イオン

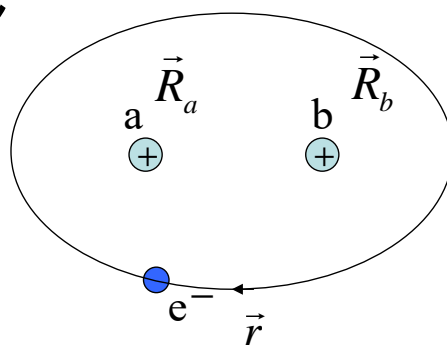
$$h = -\frac{\hbar^2}{2m}\Delta$$

$$h\phi = E\phi$$

$$\phi = C_a\varphi_a + C_b\varphi_b$$

$$\times \varphi_a^* \quad C_a h_{aa} + C_b h_{ab} = EC_a + ESC_b$$

$$\times \varphi_b^* \quad C_a h_{ba} + C_b h_{bb} = ESC_a + EC_b$$



•シフトした軌道エネルギー ( $\bar{\epsilon}_{1s}$ )  $h_{aa} = \int \varphi_a^* h \varphi_a dv =$

•移動(共鳴)積分 (-t)  $h_{ab} = \int \varphi_a^* h \varphi_b dv \approx$

•重なり積分  $S = \int \varphi_a^* \varphi_b dv$

## 結合軌道と反結合軌道

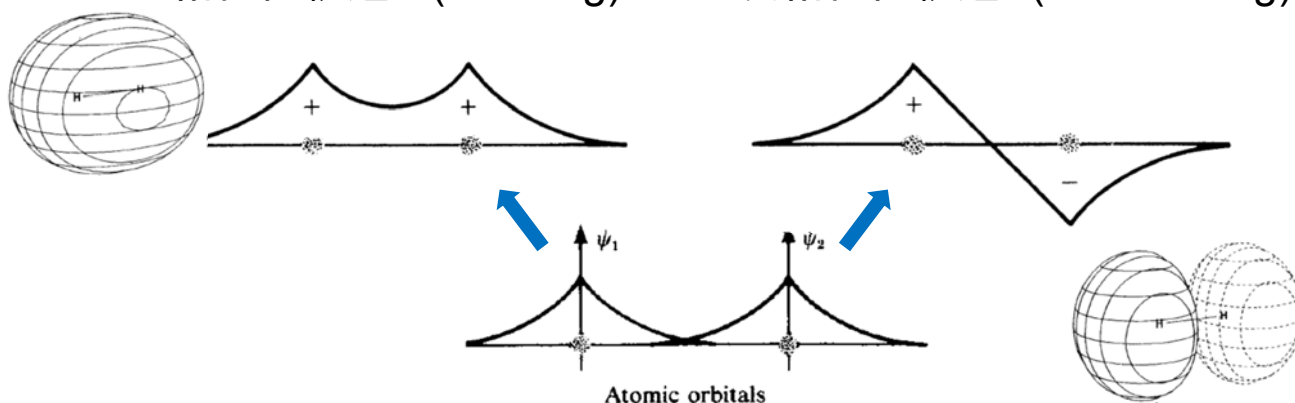
$$\begin{vmatrix} h_{aa} - E & h_{ab} - ES \\ h_{ab} - ES & h_{bb} - E \end{vmatrix} = 0$$

$$E_B = \dots \quad \phi_B = \frac{\varphi_a + \varphi_b}{\sqrt{2(1+S)}}$$

$$E_A = \dots \quad \phi_A = \frac{\varphi_a - \varphi_b}{\sqrt{2(1-S)}}$$

結合性軌道 (Bonding)

反結合性軌道 (Antibonding)



## 水素分子：電子が2つのとき $\vec{r}_1, \vec{r}_2$

$$H = \sum_{i=1}^2 \left( -\frac{\hbar^2}{2m} \Delta_i - \frac{e^2}{|\vec{r}_i - \vec{R}_a|} - \frac{e^2}{|\vec{r}_i - \vec{R}_b|} \right) + \frac{e^2}{|\vec{r}_1 - \vec{r}_2|}$$

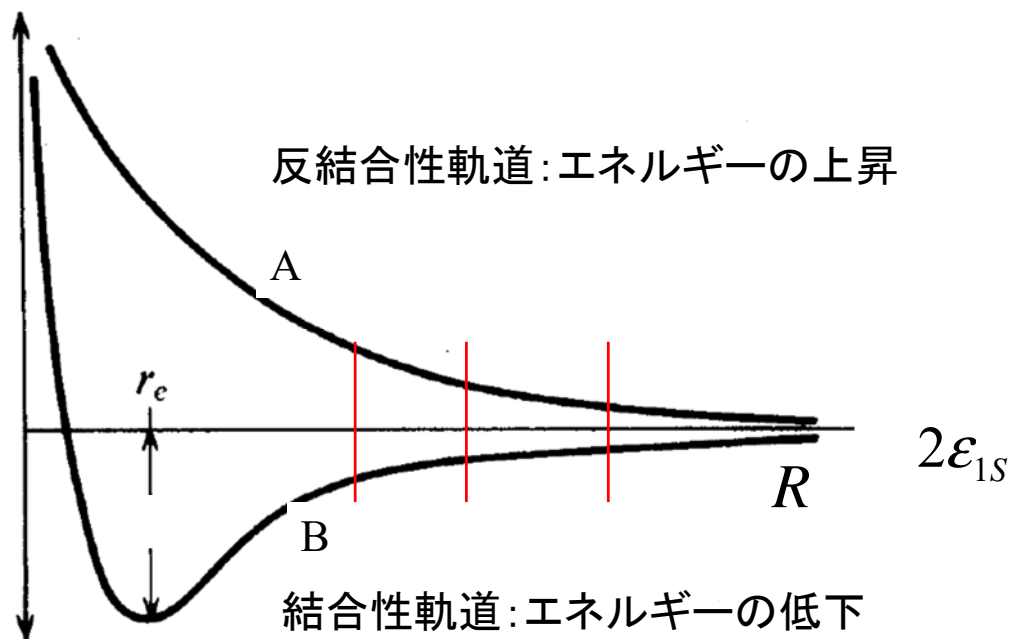
$$\Psi = |\phi_{B\uparrow} \phi_{B\downarrow}| = \phi_B(1) \phi_B(2) \frac{1}{\sqrt{2}} (\uparrow(1) \downarrow(2) - \downarrow(1) \uparrow(2))$$

$$E = \iint \Psi^* H \Psi dr_1 dr_2$$

$$= \iint \phi_B(1)^* \phi_B(2)^* (h_1 + h_2 + v_{12}) \phi_B(1) \phi_B(2) dr_1 dr_2$$

$$U = \iint \phi_B(1)^* \phi_B(2)^* v_{12} \phi_B(1) \phi_B(2) dr_1 dr_2$$

### 2原子間距離の変化 $R = |R_A - R_B|$

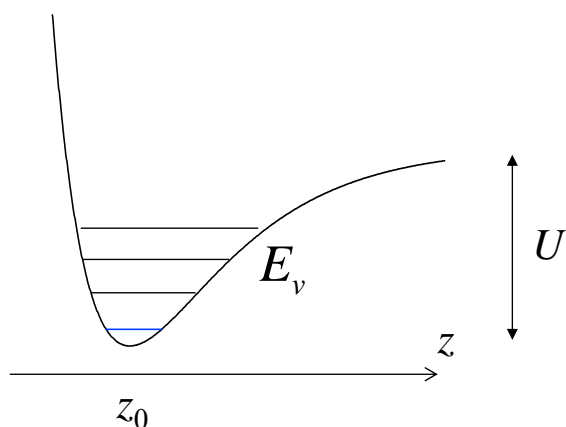


# 原子間ポテンシャルを表す近似関数と振動状態

- ・ 分散力の場合：レナードジョーンズポテンシャル
- ・ 軌道混成の場合：モースポテンシャル

モースポテンシャル

$$V(z) = U(e^{-\alpha(z-z_0)} - 1)^2$$



安定点近傍

調和近似

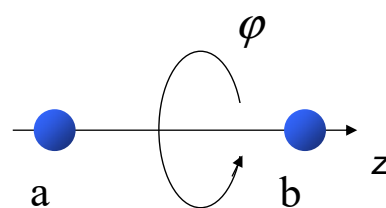
$$V(z) \cong \frac{1}{2}k(z-z_0)^2$$

$$E_n = \hbar\omega\left(n + \frac{1}{2}\right)$$

## 分子における電子の角運動量

原子における波動関数(角度部分)

$$Y_{lm}(\theta, \varphi) \propto e^{im\varphi} P_l^m(\cos\theta)$$



分子軌道を考えると

$$\phi_B = \frac{\phi_a + \phi_b}{\sqrt{2(1+S)}} \propto e^{im\varphi} (P_l^m(\cos\theta_a) + P_l^m(\cos\theta_b))$$

$m$ を $\lambda$ と書き

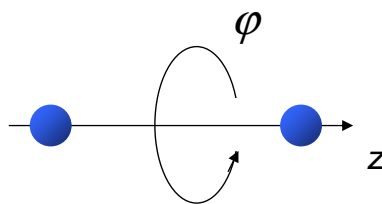
$$\lambda = 0, 1, 2 \dots \rightarrow$$

$m$ : 角運動量の分子軸への射影成分

# 分子軌道の分類と電子状態の表し方

## — スピンと角運動量

$$2S+1 \Lambda_{g/u}$$



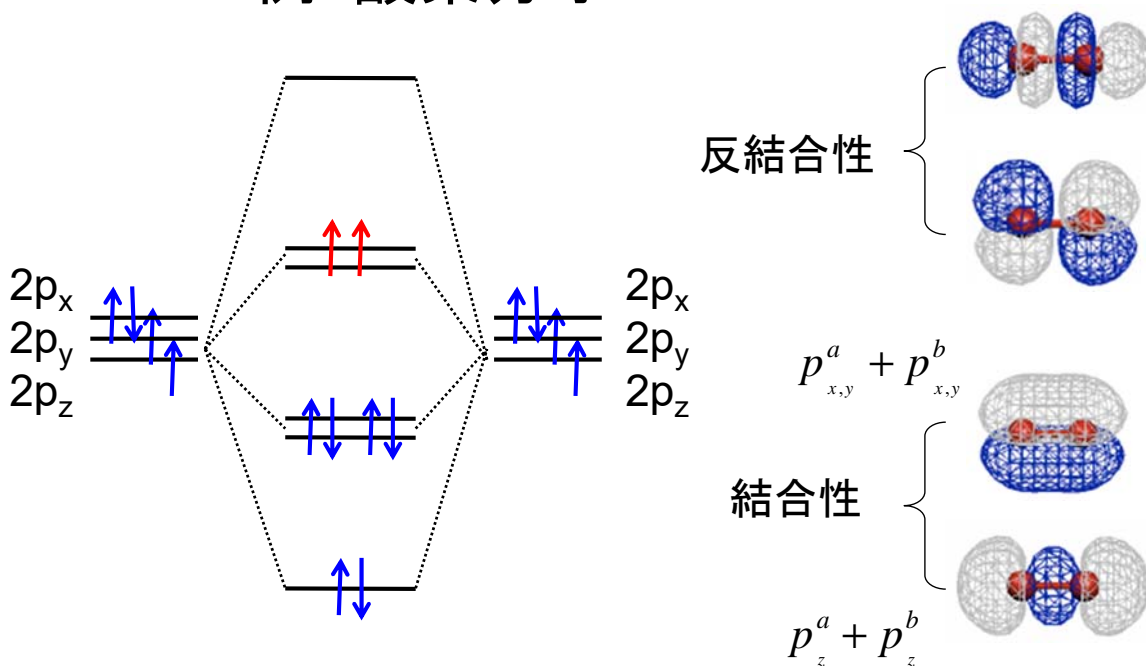
$\lambda_i$ :  $i$  番目の電子の  $\lambda$

$$\Lambda=0,1,2 \dots \rightarrow$$

$S$ : 全スピンの量子数

$g/u$ : 分子中心に対して対称/反対称

### 例: 酸素分子



$$(\sigma_g)^2 (\pi_u)^4 (\pi_g^x)^1 (\pi_g^y)^1 \quad \sum_i \lambda_i = 0$$

空間反転  $(1)^2 (-1)^4 (1)^2$



# 固体における電子のバンド構造

## ブロッホの定理

並進対称性  $V(\vec{r}) = V(\vec{r} + \vec{R})$        $\vec{R} = n_1\vec{a}_1 + n_2\vec{a}_2 + n_3\vec{a}_3$

波動関数  $\psi(\vec{r} + \vec{R}) = e^{i\vec{k}\cdot\vec{R}}\psi(\vec{r})$

ブロッホの定理を満たす関数: ブロッホ関数

$$\psi_{\vec{k}}(\vec{r}) = e^{i\vec{k}\cdot\vec{r}} u_{\vec{k}}(\vec{r}) \quad u_{\vec{k}}(\vec{r} + \vec{R}) = u_{\vec{k}}(\vec{r})$$

$$\psi_{\vec{k}}(\vec{r}) = \sum_i \exp(i\vec{k}\cdot\vec{R}_i) h(\vec{r} - \vec{R}_i)$$

混成軌道の和で構成

$$\Psi_k = \sum_i \left[ \exp(i\vec{k}\cdot\vec{R}_i) \sum_{\lambda} (A_{\lambda} |h_{\lambda}^i\rangle + A'_{\lambda} |h_{\lambda}^{i'}\rangle) \right]$$

## バンドの形成: 強束縛近似

$$\Psi_k = \sum_i \left[ \exp(i\vec{k}\cdot\vec{R}_i) \sum_{\lambda} (A_{\lambda} |h_{\lambda}^i\rangle + A'_{\lambda} |h_{\lambda}^{i'}\rangle) \right]$$

固体の表面では

(ダングリングボンド)

